

فایند روزنایی LLDPE

A Study on Melt Fracture and Its Effect on Limiting the Output in Extrusion Process of LLDPE

احمد نعیمی*

پژوهشگاه صفت، پژوهشکده علم و تکنولوژی پلیمر

دريافت: ۱۳۹۰/۱۱/۲۶، پذيرش: ۱۳۹۰/۴/۸

چکیده

شکست مذاب در فایند لکل دهن بررسی پلیمرهای گرماترم سبب ناصافی در سطح پالسخ می‌شود. پژوهشگران گویند از استفاده از مواد افزودنی، طراحی جدیدهای منابع و بکارگیری آلیاژهای فلزی مطلوب در ساخت پدیده شکست مذاب در فایند روزنایی باقی ایمان سبک خطي مطالعه و متخصص شده که در آستانه پدیده ناد شده هزار واضعی مواد به هنگام خروج از جدیده پایانده از است و به اصطلاح افت و خر دارد. همچنین، با استفاده از یک دستگاه روزنای (اکسپرور) آزمایشگاهی که مجهر به جدیده شکافدار است حواص رزلوئر یکی مذاب پلی ایل سک خطي در سرمهای مختلف تولید بوسیله شناور شان می‌دهد که نتایج نشان دهنده تغییر فشار خروجی مواد در فایند روزنایی می‌تواند عنوان روشی برای تعیین آستانه وقوع پدیده شکست مذاب سازگار رود.

واژه‌های کلیدی: روزنای شکافدار، شکست مذاب، رزلوئری مذاب، فشار خروجی، روزنایی

Key Words: slit rheometer, melt fracture, melt rheology, exit pressure, extrusion

مقدمه

شدت تحت تاثیر آن قرار می‌گیرد [۱-۴]. پژوهشگران کوشیده‌اند تا با استفاده از مواد افزودنی، طراحی جدیدهای مناسب از تصریف شکل هندسی و نیز بکارگیری آلیاژهای فلزی مطلوب در ساخت پدیده جدیده از این پدیده جلوگیری کرده با وقوع آن را به تعویق انداختند [۵-۸]. مثلا، دست اندرکاران شکل دهنی پلیمرها در راسته اند که جانچه از پلیمرهای فلورورزیلر به عنوان افزودنی در آمیزه گرماترمها استفاده کنند، پدیده نامطلوب تاصافی سطح به تعویق می‌افتد و در سرعتهای روزنایی پیشتر روی می‌دهد [۵, ۷]. با وجود پیشرفت‌هایی که در زمینه کنترل و جلوگیری از پدیده

در فایند شکل دهنی برخی گرماترمها تطبیق پلی وینیل کلرید، پلی ایل، پلی استرین، پلی استال و پلیمرهای آکریلیک، بویزه اندواعی که دارای جرم مولکولی زیاد و توزیع جرم مولکولی باریک‌اند، مشاهده می‌گردد که پس از گذشت از حدی از سرعت تولید (با تنفسهای برشی)، ناصافیهای در سطح پلیمر روزنای شده ظاهر می‌گردد که بسته به میزان و شدت ناصافی به امکان نظری شکست مذاب، پوست کوسه‌ای و تغیر شکل حجمی (gross distortion) شاخته می‌شود و متناسبه حواص پلیمر*

* مسئول مکاتبات، babanalbandia@mocripe.org

پژوهشگران همچنین ابزار داشتند که علت ابعاد ناصافی سطح در آمیزه‌های بدون مواد بهبود دهنده جریان وجود سرعت کوتاه کششی (extensional strain rate) افزاید در دیواره حديده در آستانه خروج از آن است. همچنین، وجود بهبود دهنده‌های چسبندگی یا لغزش باعث کاهش میزان سرعت کوتاهی لایه مذاب در تماس با دیواره حديده می‌شود که بدین ترتیب ناصافی سطح را Argylevin و SID طاهر تصاده‌های موجود در مهندسی علمی درخصوص علت ناصافی سطح در فرایند روزنرایی بعضی مواد پلیمری را برطرف می‌کند.

از آنجا که تشخیص وقوع پدیده شکست مذاب با مشاهده صورت می‌گیرد که حالی از خطایست. بنظر مردم معرفی روشن که بتواند آستانه وقوع این پدیده را با اندازه‌گیری دقیق یک پارامتر مشخص کند، لازم و ضروری باشد در این پژوهش، شناسایی روزنرایی شده در هنگام ترک حديده که به آن فشار سروجی گفته می‌شود، اندازه‌گیری و تلاش شده است تا آستانه وقوع پدیده شکست مذاب با بررسی فشار خروجی مشخص گردد.

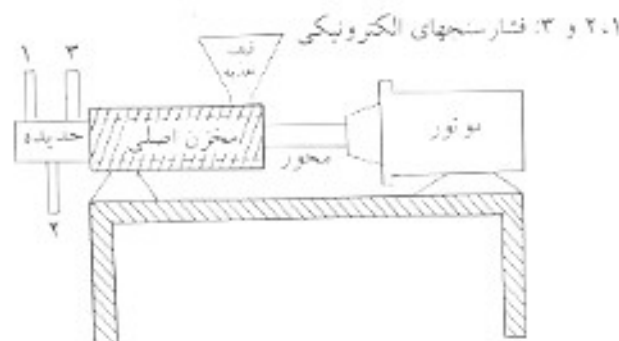
تجربی

مواد

در این پژوهش، از پلی اتیلن خطی سیک (LLDPE) با شاخص جریان مذاب (M₁₁) ۱/۰ mm/g و ۱/۰ تولیدی شرکت ICI استفاده شد.

دستگاه

یک دستگاه روزنرای آزمایشگاهی ساخت تایوان از جنس فولاد صریغ که قطر آن $L/D = 25/4$ mm و $W=25$ mm، $H=1$ mm و $L=10$ mm برای مطالعه خواص رخوپریکی مذاب پلیمر یکارگرده شد. طرحی از این دستگاه در شکل ۱ نشان داده شده است که از موتور، مخزن اصلی، میله و مطالعه که از تغذیه، پایه نگهدارنده و حديده شکافدار تشکیل یافته است. شکل ۲ تصویری از حديده را نشان می‌دهد. در ضمن، سه عدد فشارسنج الکترونیکی ساخت شرکت آمریکایی Dynisco که در داخل حفره‌های تعییه شده بر پدنه حديده در فواصل $5/12$ ، $5/27$ و $5/62$ mm از لبه خروجی نصب شده است، برای خواندن فشار مذاب در موقعیت‌های مکانی مختلف از لبه آن استفاده شده است. بدین ترتیب که علامت‌های signal conditioning box داده‌ها (Macpacq MP 100 16-bit Board) انتقال می‌یابد. سپس، داده‌ها به یک کامپیوتر مکینتاش (I.C. Macintosh) برای ذخیره‌سازی و ارزیابی بعدی



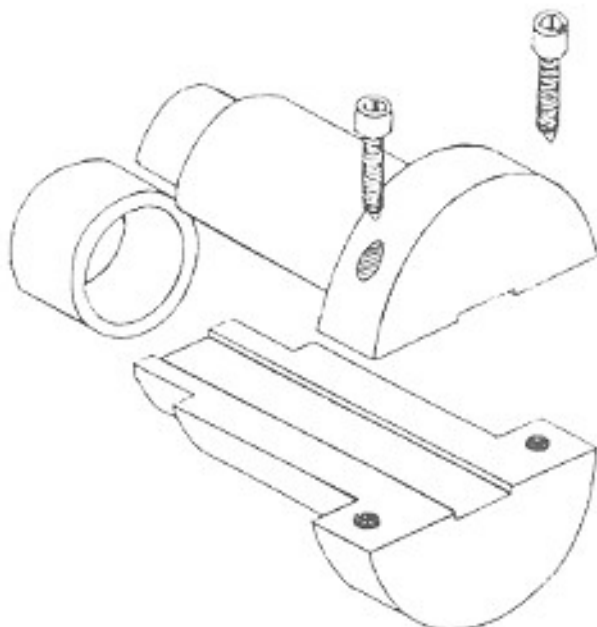
شکل ۱- طرح دستگاه روزنرای بکار رفته.

شکست مذاب صورت گرفته، پژوهش‌های یاری برای بیان علت و عوامل آن هنوز اسحاق کافی نیافرده است. بررسیهای رامامورتی طی سالهای ۱۹۸۵-۱۹۸۶ روی فرایند تولید فیلم به روش دمشی پلی اتیلن سبک خطی (LLDPE) نشان می‌دهد که استفاده از حديده‌های برنزی می‌تواند پدیده شکست مذاب را به تعویق انداغه و وقوع آن را در سرعتهای برش یشتر، که مطابق با حداقل سه برابر افزایش تولید است، موجب شود [۱۹-۲۱]. رامامورتی این پدیده را به چسبندگی بهتر مذاب پلیمر به سطح حديده نسبت داده و معتقد است که چسبندگی بیشتر مذاب به دیواره حديده برقی در مقایسه با حديده‌های فولادی عامل جلوگیری از وقوع شکست مذاب در سرعتهای معمولی و انتقال آن به سرعتهای بیشتر بوده است.

بهبود دهنده‌های جریان مذاب، نظری پلیمرهای فلوروکاربون طور که بیان شد برای حذف پاتضاعف پدیده شکست مذاب بکار می‌رود. تحقیقات رامامورتی نشان می‌دهد که بهبود چسبندگی مذاب به سطح حديده باعث کاهش شکست مذاب می‌شود، در حالی که بهبود دهنده‌های جریان یا بهتر نگوییم کاهنده‌های لغزش تعلق دارند. مجهود بهبود دهنده‌های چسبندگی یا بهبود دهنده‌های جریان را پژوهشگران در سال ۱۹۹۳ [۱۵-۱۷] و از دو نوع پلیمر فلوروکاربون به عنوان بهبود دهنده جریان مذاب پلی اتیلن سنتگن در تحقیقات رئومتری با حديده شکافدار (slit die) و نوله مویین استفاده کردند. نتایج بررسیهای آنان نشان می‌دهد که یکی از بهبود دهنده‌های جریان باعث کاهش لغزش لایه مذاب در تماس با دیواره حديده شده، در حالی که دیگری لغزش را نسبت به آمیزه بدون افزودنی افزایش داده است و این در حالی بود که هر دو بهبود دهنده جریان، ناصافی سطح پلیمر روزنرایی شده را بهبود می‌بخشند. بدین ترتیب آنان نتیجه گیری کرده‌اند که اساساً بهبود دهنده‌های چسبندگی (کاهنده‌های لغزش) و افزاینده‌های لغزش می‌توانند باعث بهبود ظاهر سطح پلیمر روزنرایی شده گردند. این

عبارت ریاضی برای هر یک از فشارسنجها بدست آمد که ولتاژ خوانده شده را به فشار ارتباط دارد.

بخش دوم آزمایشها اختصاص به بررسی رفتار ریولوژیکی مذاب پلیمر دارد. پس از تنظیم فشارسنجها، حدیده از رابط متصل به کپسول گاز نیتروژن جدا شده و دوباره به دستگاه روزنران متصل شد. اشاره می شود که در کلیه مراحل فوق گرمکتهای الکتریکی، محزن دستگاه را گرم نگهداشته و پلیمر را به حالت مذاب حفظ می کرد. در بی استقرار مجدد حدیده در دستگاه، موتور روشن شده و آزمایشها اندازه گیری فشار در سرعتهای مختلف روزنرانی تا آستانه وقوع پدیده شکست مذاب انجام گرفت.



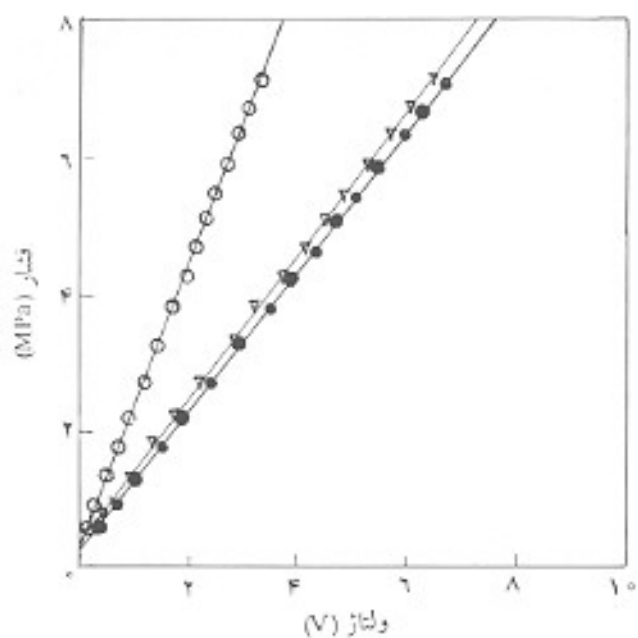
شکل ۲ - تصویر حدیده شکافدار.

متصل می شود.

روشها

شکل ۴ مقادیر غیر واقعی فشارهای اندازه گیری شده را که به دلیل تشخیص بهتر بزرگنمایی شده‌اند، نشان می‌دهد. با افزایش سرعت روزنرانی، فشارهای خوانده شده به وسیله فشارسنجها با روندی منظم و مناسب افزایش می‌یابد، بطوری که در هر سرعت تولید، نموداری که از اتصال مقادیر فشار به یکدیگر بدست می‌آید خطی باقی می‌ماند.

بادقت در این شکل می‌توان دید که فشار مواد مذاب داخل حدیده با نزدیک شدن به لبه خروجی آن کم می‌شود، ولی هیچ گاه صفر نمی‌شود. از آنجا که بطور عملی امکان اندازه گیری فشار



شکل ۳ - نمودار درجه‌بندی فشارسنجها.

ابتدا فشارسنجها به کمک کامپیوتر و یک برنامه رایانه‌ای به نام Data Acquisition Software گاز نیتروژن تحت فشار درجه‌بندی شد. در حالی که فرایند روزنرانی با سرعت متوسط در حال انجام بود، موتور دستگاه خاموش شد، میکروشکاف روی حدیده به وسیله یک قطعه فلز با روکش تفلون که تعدادی بیچ آن را به بدنه حدیده متصل می‌کرده مسدود شد. در بی آن، موتور دستگاه برای چند لحظه روشن شد تا همه حفره‌های احتمالی در مذاب داخل حدیده از پلیمر پر شود، در نهایت موتور دوباره خاموش شد و مجموعه حدیده همچنان که داغ بود از دستگاه جدا شده و از طریق اتصال به یک رابط به نام (dummy die) به کپسول گاز نیتروژن ارتباط داده شد. بدین ترتیب، فشار اعمال شده به وسیله کپسول گاز برآحتی نویسند فشارسنجهای نصب شده روی حدیده قابل اندازه گیری بود. با تنظیم شیر ورودی گاز به حدیده، فشارهای مختلفی به آن اعمال گردید و هم‌مان ولتاژ خوانده شده به وسیله فشارسنجها و نیز فشار نشان داده شده به وسیله دستگاه تنظیم کننده کپسول ثبت گردید. در ادامه، فشار خوانده شده از دستگاه تنظیم کننده در مقابل ولتاژ فشارسنجها نویسی شد و بدین ترتیب نمودار درجه‌بندی هر یک از فشارسنجها بدست آمد که کاملاً خطی بود.

شکل ۲ نمودارهای درجه‌بندی فشارسنجها را نشان می‌دهد. همچنین با برآوردن نقاط این نمودار با تابع چندجمله‌ای درجه اول،

محاسبه کرد. از طرف دیگر، با نوزن مقدار مواد روزمرانی شده در واحد زمان (W) و نیز داشتن چگالی مذاب پلیمر مشخص کرد. بدین ترتیب با داشتن گرادیان فشار و دمای حجمی مذاب پلیمر در هر سرعت برش از طریق معادله $\eta = \frac{W}{d}$ می‌توان سرعت برش توصیم کرد و در نهایت منحنی تغیرات گرانوی در برابر سرعت برش ترسیم می‌شود.

$$Q = \frac{W}{d} \quad (1)$$

$$\bar{\gamma}_s = \eta Q / wH^2 \quad (2)$$

$$\bar{\gamma} = \bar{\gamma}_s \left(\frac{1 + 2b}{2b} \right) \quad (3)$$

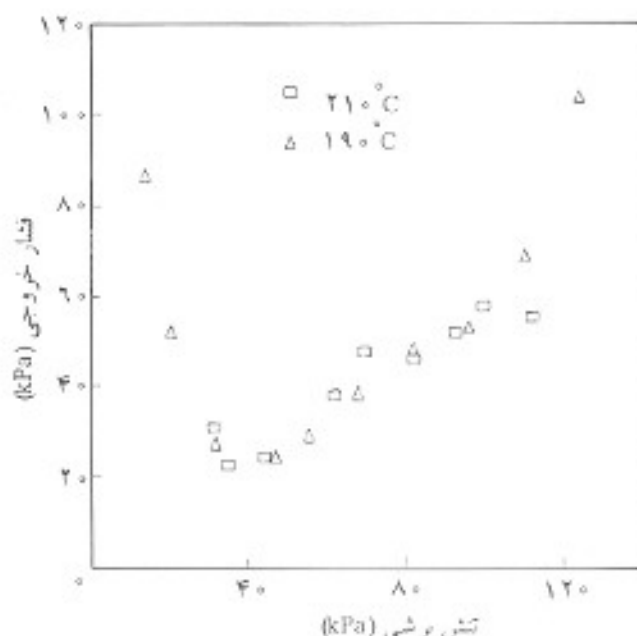
$$\tau_w = \left[\frac{dp}{dx} \right] H / 2 \quad (4)$$

$$\eta = \frac{\tau_w}{\bar{\gamma}} \quad (5)$$

$$\tau_w = K_3 \bar{\gamma}_s^3 \quad (6)$$

$$\log \tau_w = \log K_3 + b \log \bar{\gamma}_s \quad (7)$$

جدول ۱ پارامترهای اندازه‌گیری شده ($dp/dx, W$) و محاسبه شده براساس معادله‌های ۱-۶ را که برای تعیین گرانوی لازم است، ارائه می‌دهد. همچنین، شکل ۸ منحنی گرانوی در



شکل ۷- تغیرات فشار خروجی در برابر تنش برشی.

نمایش.

به عبارت دیگر، نتایج این پژوهش نشان می‌دهد که به محض ظهور ناصافی در سطح پلیمر به هنگام روزمرانی، فشارهای خوانده شده به وسیله فشارسنجها ثابت نبوده و بطور مرتب بالا و یا نیز می‌روند. این امر بدین دلیل است که سرعت تغیر شکل کششی لایه مذاب در نتیجه با حدیده از حد توان پلیمر مذاب فراز می‌رود و در نتیجه ناصافیهای در سطح پلیمر پس از خروج از حدیده ظاهر می‌شود.

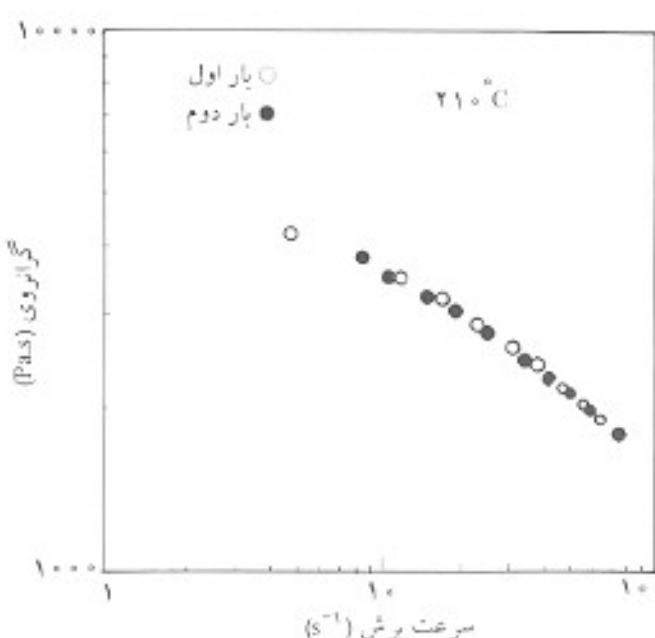
با دقت در شکل ۵، ملاحظه می‌شود که می‌توان گرادیان فشار مذاب در حدیده را در هر یک از سرعتهای برش

جدول ۱- پارامترهای اندازه‌گیری شده و محاسبه شده برای تعیین گرانوی.

$\eta = \tau_w / \bar{\gamma}$ (Pas)	$\bar{\gamma} = \bar{\gamma}_s \left(\frac{1 + 2b}{2b} \right)$ (s^{-1})	$\tau_w = (dp/dx)H / 2$ (kPa)	$\bar{\gamma}_s = \eta Q / wH^2$ (s^{-1})	Q (m^3/s)	dp/dx (MPa/mm)	W (g/min)	شماره آزمایش
۱۷۷/۲۱	۲۲۵/۲۲	۴۰/۰۲	۱۸۸/۱	۳/۱۲۵, 10^{-8}	۰/۱۸۰	۱/۷۴۹	۱
۱۶۸/۵۶	۲۲۲/۴۲	۵۶/۲	۲۷۸/۲۴	۴/۱۲۹, 10^{-8}	۰/۱۱۲	۲/۷۸۳	۲
۱۴۴/۷	۵۶۵/۲۸	۸۱/۸	۴۷۱/۹	۷/۸۶۵, 10^{-8}	۰/۱۶۴	۴/۷۱۹	۳
۱۱۵/۲۹	۸۳۶/۱۲	۹۶/۴	۶۹۸/۰	۱۱/۶۲۲, 10^{-8}	۰/۱۹۲	۶/۹۸۰	۴
۱۱۵/۰۲	۹۱۹/۸۵	۱۰۵/۸	۷۶۷/۹	۱۲/۷۹۸, 10^{-8}	۰/۲۱۲	۷/۶۷۶	۵
۱۰۰	۱۱۶۶/۱	۱۱۶/۶	۹۷۲/۴	۱۶/۲۲۴, 10^{-8}	۰/۲۲۲	۹/۷۳۵	۶
۹۰/۲۲	۱۴۹۹/۵	۱۲۵/۲	۱۲۵۱/۸	۲۰/۸۶۴, 10^{-8}	۰/۲۷۱	۱۲/۵۷۸	۷

* از ترسیم $\log \tau_w$ در برابر $\log \bar{\gamma}_s$ براساس معادله ۷، پارامتر b محاسب شد: $b = 0.628$.

- melt fracture in molten polymers", *Polym. Plast. Tech. Eng.*, **37**, 3, 317, 1998.
3. Cogswell F. N., "A method for reducing sharkskin on extruded polymeric materials", *U.S. Patent 1 441 886*, 1976.
 4. Ramamurthy A. V., "LLDPE Rheology and blown film technology", *J. Non-New. Fluid Mech.*; **6**, 4, 489-99, 1986.
 5. Moynihan R. H. and Barid D. G. and Ramanathan R., "Additional observation on the surface melt fracture behaviour of linear low-density polyethylene", *J. Non-New. Fluid Mech.*; **36**, 255, 1990.
 6. Halley P. and Mackay M. E., "The effect of metals on the processing of LLDPE through a slit die", *J. Rheol.*; **38**, 1, 1994.
 7. Smedt C. D. and Nam S., "The processing benefits of fluoroelastomer application in LLDPE", *Plast. Rub. Proc. Appl.*; **8**, 1, 11-16, 1987.
 8. Stewart C. W. and Dealy J. M., "Wall slip of molten high density polyethylene", *J. Rheol.*; **36**, 5, 967, 1992.
 9. Ramamurthy A. V., "Wall slip in viscous fluids and influence of materials of construction", *J. Rheol.*; **30**, 2, 337-57, 1986.
 10. Ramamurthy A. V., "Process for eliminating surface melt fracture during extrusion of thermoplastic polymers", *U.S. Patent 4 554 120*, 1985.
 11. Ramamurthy A. V., "Process for substantially eliminating surface melt fracture when extruding ethylene polymer", *U.S. Patent 4 522 776*, 1985.
 12. Ramamurthy A. V., "Process for reducing surface melt fracture during extrusion of ethylene polymers", *U.S. Patent 4 552 712*, 1985.
 13. Hatzikiriakos S. G. and Dealy J. M., "Effects of interfacial conditions on wall slip and sharkskin melt fracture of HDPE", *Int. Polym. Proc.*; **8**, 1, 36-43, 1993.
 14. Hatzikiriakos S. G. and Dealy J. M., "Effect of surface coatings on wall slip of LLDPE", *Int. Polym. Proc.*; **8**, 1, 30-35, 1993.
 15. Hatzikiriakos S. G., "The onset of wall slip and sharkskin melt fracture in capillary flow", *Polym. Eng. Sci.*; **34**, 19, 1441, 1994.



شکل ۸ - نمودار تغیرات گازروی در برابر سرعت برش برای LLDPE با $MFI = 1.0 \text{ g} / 10 \text{ min}$ در دمای 21°C .

برابر سرعت برش از آنکه در این پژوهش بدست آمده نشان می‌دهد.

نتیجه‌گیری

- ۱- هنگام وقوع پدیده شکست مذاب، فشار ماده مذاب در حدیده ثابت نبوده و بطور مرتب کم و زیاد می‌شود. به عبارت دیگر، فشار خروجی قابل اندازه گیری نیست.
- ۲- اندازه گیری فشار خروجی مواد در فرایند روزنامی می‌تواند به عنوان روشی برای تعیین آستانه وقوع پدیده شکست مذاب بکار رود و زیرا به هنگام وقوع این پدیده منحنی تغیرات فشار خروجی در برابر سرعت برشی تایپوسته می‌شود.
- ۳- با استفاده از یک روزنام آزمایشگاهی و تعدادی فشار سنج الکترونیکی بر احتی می‌توان خواص رثولوزیکی پلیمر مذاب را بررسی کرد.

مراجع

1. Oyanagi Y., "Melt fracture and sharkskin", *Prog. Rubber Plast. Tech.*, **13**, 4, 231, 1997.
2. Sombatsompop N. and Wood A. K., "An examination of